

## ارزیابی ژئوشیمی آلی سازند امیران در برش تاقدیس امیران (جنوب باختر لرستان)

حسن محسنی<sup>\*</sup>، مجید طولابی<sup>۲</sup>، بیژن یوسفی‌یگانه<sup>۳</sup> و سعید خدابخش<sup>۴</sup>

<sup>۱، ۲ و ۴</sup>- گروه زمین‌شناسی، دانشگاه پواعلی‌سینا، همدان

<sup>۳</sup>- گروه زمین‌شناسی، دانشگاه لرستان، خرم‌آباد

\*mohseni@basu.ac.ir

دریافت: ۹۳/۱۱/۷ پذیرش: ۹۴/۳/۲۵

### چکیده

سازند امیران به سن ماستریستین- پائوسن در حوضه رسوبی زاگرس نهشته شده است. بخش زیادی از توالی این سازند در جنوب باختر لرستان را رخساره‌های ریز دانه شیلی (با رنگ خاکستری تیره و سیز زیتونی) تشکیل می‌دهد. از آنجا که این رخساره‌ها در محیط رسوبی ژرف انباشته شده‌اند احتمال وجود مقدار قابل ملاحظه‌ای ماده آلی در آن وجود دارد. هدف از این مطالعه بررسی توان هیدروکربورزایی، نوع کروزن، بلوغ حرارتی و شناخت شرایط رسوب‌گذاری امیران در جنوب باختر لرستان می‌باشد. بدین منظور برش سطحی سازند امیران در یال شمالی تاقدیس امیران مورد بررسی قرار گرفت و تعداد ۵۲ نمونه گردآوری گردید که از بین آن‌ها تعداد ۱۲ نمونه از رخساره‌های ریزدانه (شیلی) و تیره رنگ انتخاب و توسط دستگاه راک- ایول ۳ در پژوهشگاه صنعت نفت مورد آنالیز قرار گرفتند. نتایج آنالیز ژئوشیمیایی نشان می‌دهد که درصد از نمونه‌ها مقدار TOC کمتر از ۰/۵ درصد وزنی دارند و با توجه به شاخص‌هایی مانند  $S_1$ ،  $S_2$ ،  $S_1+S_2$  سازند امیران توان تولید هیدروکربن ضعیفی دارد. نتایج هم‌چنین نشان می‌دهد که بیشتر کروزن‌های سازند امیران از نوع III و IV است. در عین حال نمودار HI در برابر  $T_{max}$  و هم‌چنین PI در برابر  $T_{max}$  نشان می‌دهد که ۷۳ درصد از نمونه‌ها با رسیدن به مرحله کاتائز رسیدگی دمایی را پشت سر نهادند. بر اساس نمودار جونز رخساره‌های آلی سازند امیران بسیار گوناگون (BCCD، و D) است. پراکنده‌گی نمونه‌ها، نشانه درهم شدن ماده آلی دریایی با قاره‌ای می‌باشد. بر این اساس بیشتر مواد آلی سازند امیران از خشکی وارد حوضه شده‌اند و با رسوب در محدوده آب بستر اکسیژن‌دار، در شرایط افت نسبی سطح آب دریا صورت گرفته است.

**واژه‌های کلیدی:** سازند امیران، پیرولیز راک- ایول، پتانسیل هیدروکربن‌زاوی، لرستان

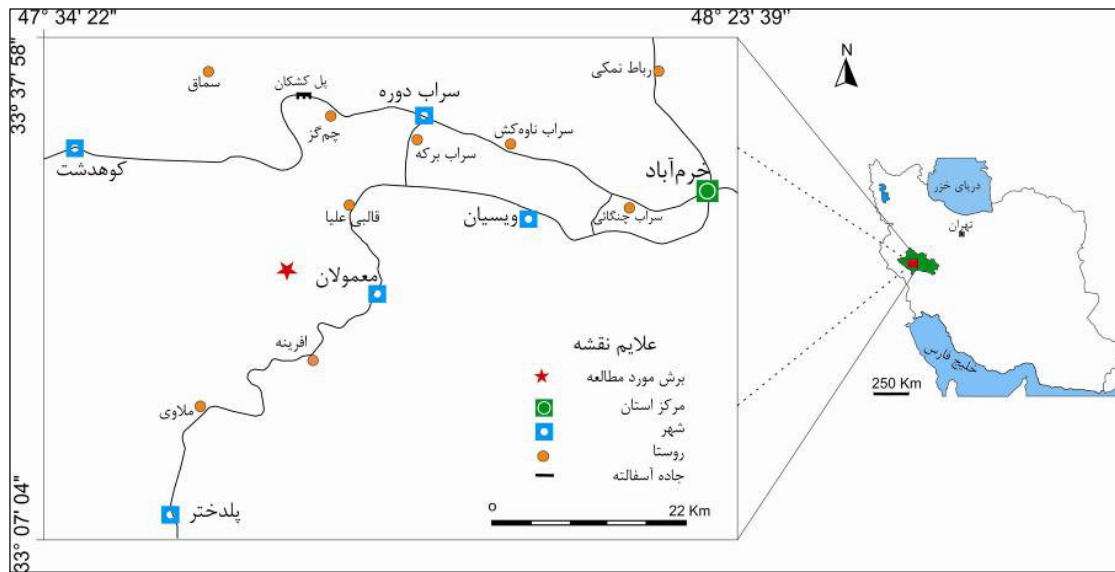
### ۱- مقدمه

بررسی قرار گرفته‌اند [۱، ۵ و ۶] اما سازندهایی مانند امیران که در نگاه کلی به عنوان درشتدانه شناخته می‌شوند از نظر ژئوشیمی آلی بررسی نشده‌اند. سازند امیران در منطقه مورد مطالعه (برش سطحی در یال شمالی تاقدیس امیران) در زاگرس چین‌خورده واقع شده است و شامل کنگلومرا، سیلتستون، شیل و میان لایه‌های آهکی است. بخش زیادی از توالی این سازند (تقرباً ۶۰ تا ۶۵ درصد) در برش مورد مطالعه را رخساره‌های ریزدانه شیلی (با رنگ خاکستری تیره و سیز زیتونی) تشکیل می‌دهد. از آنجا که این رخساره‌ها در محیط رسوبی ژرف انباشته شده‌اند [۴، ۲ و ۲۸] احتمال وجود مقدار قابل ملاحظه‌ای ماده آلی در آن‌ها وجود دارد، هم‌چنین وجود بروزدهای مواد نفتی در منطقه نظری چشمدهای نفتی، قیر طبیعی و مواد بیتومینه ایجاد می‌نماید که این

ژئوشیمی نفت امروزه برای دستیابی بهینه به اهداف اکتشافی و تولید به کار گرفته می‌شود. یکی از اهداف مهم ژئوشیمی، مشخص کردن واحدهای چینهای است که در یک حوضه رسوبی تشکیل بهترین سنگ‌های منشاء را می‌دهند [۱۶]. حوضه رسوبی زاگرس تقریباً دومین حوضه رسوبی در خاورمیانه و از دیرباز مورد توجه زمین‌شناسان نفتی بوده است [۱]. رسوبات ژوراسیک تا اوسن در این حوضه به عنوان لایه‌های دارای پیروپیتومن توصیف شده‌اند [۵]. این حوضه به خاطر دارا بودن چین‌های بزرگ، منظم و جوان و به تله افتادن ذخایر هیدروکربنی در بسیاری از تاقدیس‌های آن به عنوان یکی از غنی‌ترین حوضه‌های نفتی جهان است. سازندهایی که سنگ‌شناسی شیلی و ریز دانه داشته‌اند همواره مورد توجه بوده و از نظر ژئوشیمی آلی مورد

ارزشمندی درباره رسیدگی دمایی، توان تولید هیدروکربن، نوع کروزن، وضعیت حوضه رسوبی در زمان انباشت ماده آلی از نظر اکسیداسیون و احیاء و همچنین برجا یا نابرجا بودن هیدروکربن موجود در سنگ به دست می‌دهند [۱ و ۲۲]. برش مورد مطالعه در تاقدیس امیران در شمال باخته شهر معمولان و در طول  $۳۳^{\circ} ۲۳' ۱۳''$  و عرض  $۵۵^{\circ} ۴۷'$  شمالي قرار دارد. دسترسی به این منطقه از مسیر جاده آسفالت خرم‌آباد - پل دختر - اهواز که از شهر معمولان می‌گذرد، امکان پذیر است (شکل ۱).

سازند از دیدگاه پتانسیل سنگ منشاء ارزیابی گردد. بنابراین در این مطالعه، ارزیابی سنگ منشاء احتمالی، در رخسارهای ریزدانه سازند امیران از نظر کمیت، کیفیت و بلوغ ماده آلی مورد بررسی قرار گرفت. بدین منظور از روش پیرولیز راک اول بهره‌گیری شد. در این روش، پتانسیل تولید هیدروکربور در سنگ‌های رسوبی به کمک پیرولیز نمونه‌ها در شرایط محیط خنثی و با افزایش دما با یک برنامه حرارتی صورت می‌گیرد. این روش در زمان کوتاه قادر است شمار فراوانی از نمونه‌ها را مورد انتیز کمی قرار دهد. داده‌های حاصله پس از پردازش و محاسبه چند پارامتر کمی کمی کنند تا اطلاعات



شکل ۱. موقعیت جغرافیایی و راههای دسترسی به منطقه مورد مطالعه

باخته تاقدیس امیران در نزدیکی شهر معمولان قرار دارد. در این تاقدیس سازندهای گوری، امیران، کشکان، شهریازان و آسماری رخمنون دارند که رخسارهای کرتاسه- پالئوسن بیشترین وسعت را تشکیل می‌دهند (شکل ۲).

ستبرای سازند امیران در برش مورد مطالعه (یال شمالی تاقدیس امیران)  $۹۸۰$  متر است که شامل کنگلومرا، ماسه سنگ‌های سبز گلوكونیت‌دار، سیلتیتون خاکستری و شیل‌های خاکستری تیره و سبز زیتونی و میان لایه‌های آهکی است. رنگ این سازند سبز تیره تا سبز زیتونی و متمایل به خاکستری است. سازند امیران به طور هم‌شیب و پیوسته بر روی سازند گورپی قرار می‌گیرد که در روی زمین با تغییر رنگ شیل و مارن‌های آبی تا خاکستری

## ۲- زمین‌شناسی منطقه

برش مورد مطالعه بخشی از پهنه زمین‌ساختی زاگرس چین خورده و زیرزون لرستان است و در شمال باخته فروافتادگی دزفول و در کمربند چین خورده - رانده زاگرس قرار دارد [۱۳]. این زیر زون به خاطر دارا بودن سنگ‌های منشاء مهم که در زمان کرتاسه رسوب نموده‌اند از اهمیت ویژه‌ای از نظر حفظ مواد آلی برخودار است. رسوبات سازند گرو که منحصراً در حوضه لرستان گسترش دارند نمونه بارز آن هاست [۱۸]. ضخامت زیاد رسوبات انباشته شده در زمان سنوزوییک این شانس را به وجود آورده که رسوبات مژوزوییک حوضه لرستان به خوبی از پنجره نفتی عبور نموده و به رسیدگی دمایی برستند [۵]. برش نمونه سازند امیران در دامنه شمال

بخش شمال‌خاوری حوضه ماستریشتین تا پالئوسن است [۱۸]. در منطقه مورد مطالعه سن آن پالئوسن تعیین شده است [۱۴ و ۳].

سازند گورپی به سیلتسنون‌ها و ماسه‌سنگ‌های سبز تیره سازند امیران مشخص می‌شود. در روی سازند امیران سازند تله‌زنگ وجود ندارد و سازند کشکان بر روی آن قرار دارد. سن سازند امیران در لرستان پالئوسن و در



شکل ۲. تصویر سازندهای رخنمون یافته در تاقدیس امیران (نگاه به سوی شمال باخته‌ی)

آلی بسیار زیادی است. نمودار رسیدگی دمایی و تاریخچه تدفین با نرم افزار<sup>۱</sup> PBM انجام گرفته است.

### ۳- مواد و روش‌ها

پس از انجام مطالعات کتابخانه‌ای در بررسی‌های صحرایی از تاقدیس امیران از قاعده سازند به سوی بالا بر پایه تغییرات رخساره‌ای و عمود بر امتداد طبقات، از ژرفای ۴۰ تا ۵۰ سانتی‌متری زیر سطح رخنمون نمونه‌برداشی صورت گرفت. از بین نمونه‌های برداشت شده (۵۲ نمونه)، تعداد ۱۲ نمونه شیلی به ویژه از لایه‌های شیلی تیره رنگ نیمه پایین سازند ( محل نمونه‌ها در شکل ۳)، که رنگ تیره‌تری نسبت به نیمه بالا دارد [۲]، انتخاب و پودر آن‌ها در پژوهشگاه صنعت نفت با دستگاه راک-ایول مدل III آنالیز شد. سپس پارامترهای ژئوشیمیایی  $S_1$  (مقدار هیدروکربن آزاد)،  $S_2$  (توان هیدروکربن‌زاوی)،  $S_3$  (مقدار  $CO_2$  موجود در کروزن که در اثر شکست حرارتی از نمونه تولید می‌گردد)، TOC (مقدار کل کربن آلی موجود در نمونه)،  $T_{max}$  (دمایی که پیک  $S_2$  در آن بیشینه خود را نشان می‌دهد)، شاخص هیدروکربن HI ( $S_2/TOC$ )، شاخص اکسیژن OI ( $S_3/TOC$ )، شاخص پتانسیل هیدروکربن‌زاوی PI ( $S_1/S_1+S_2$ ) محاسبه و مورد تجزیه و تحلیل قرار گرفت. نمونه شماره ۴۹ به خاطر کمبود ماده آلی و گزارش نشدن برخی پارامترها از بررسی کنار گذاشته شد و نتایج ۱۱ نمونه در جدول (۱) و نمودارها ارائه شده است. نمونه شماره ۵ به دلیل آن که این نمونه از لایه با ماده آلی فراوان (بیتومینه) برداشت گردید دارای ماده

### ۴- نتایج و بحث

همان‌طور که گفته شد، هدف از انجام این مطالعه، بررسی سنگ منشاء احتمالی سازند امیران با استفاده از پارامترهای ژئوشیمیایی می‌باشد. در جدول (۱) پارامترهای مهم ژئوشیمیایی محاسبه شده توسط دستگاه راک-ایول نشان داده شده است. در این مطالعه ارزیابی سنگ منشاء احتمالی سازند امیران در سه بخش تعیین کمیت، کیفیت و بلوغ ماده آلی بر اساس تقسیم‌بندی پیترز<sup>۲</sup> ۱۹۸۶ و پیترز و کاسا<sup>۳</sup> ۱۹۹۴ مورد بررسی قرار گرفته است [۲۵ و ۲۶]. سنگ منشاء نفت طبق تعریف، سنگی است که توانایی زایش و خروج هیدروکربن را به حدی دارا باشد که تشکیل یک تجمع نفتی یا گازی را بددهد [۱۶]. جدول (۲) معیارهای پذیرفته شده برای توصیف کمیت، کیفیت و بلوغ حرارتی مواد آلی موجود در سنگ منشاء را نشان می‌دهد [۲۵ و ۲۶].

در آغاز بررسی‌های ژئوشیمیایی اطمینان از آلوگی و آغشتنگی نمونه‌ها یا آلوه نبودن آن‌ها ضروری است. به این منظور از منحنی تغییرات  $S_1$  در برابر TOC استفاده می‌شود. مقادیر بالای این خط نشان‌دهنده هیدروکربن‌های نابرجا (مهاجرت یافته و آلوه)، و مقادیر

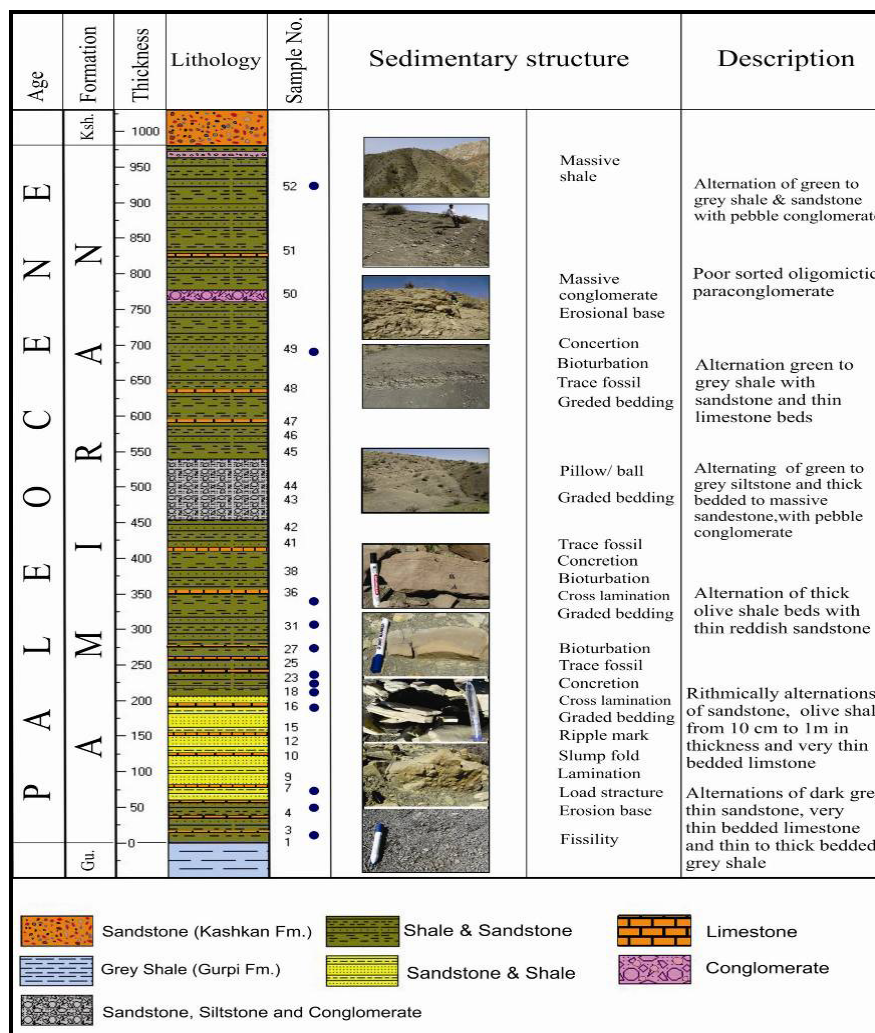
<sup>1</sup> Pars Basin Modeling

<sup>2</sup>Peters

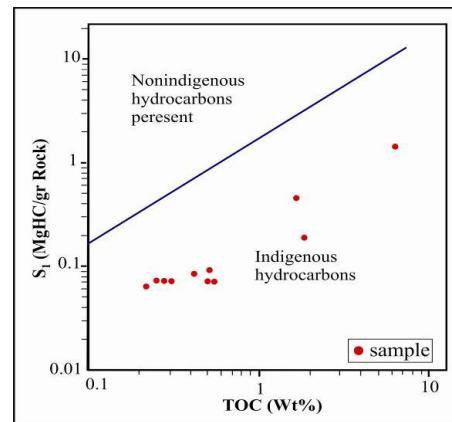
<sup>3</sup>Peters and Cassa

همین رو احتمال نابرجا بودن هیدروکربن نمونه‌ها بسیار پایین می‌باشد.

پایین این خط نشانه هیدروکربن‌های بر جاست [۱۶]. همان‌طور که در شکل (۴) نشان داده شده است، تمام نمونه‌های برداشت شده زیر خط آلوگی قرار گرفته‌اند و از



شکل ۳. ستون چینه‌شناسی سازند امیران در تاقدیس امیران (دایره‌های سیاه محل برداشت نمونه‌ها برای انجام آنالیز راک-ایول را نشان می‌دهند).



شکل ۴. نمودار  $S_1$  در برابر TOC هیدروکربن‌های مهاجرت یافته را از هیدروکربن‌های درجا تفکیک می‌کند (برگرفته از [۱۶]).

جدول ۱. نتایج آنالیز ژئوشیمیایی نمونه‌های شیلی سازند امیران با دستگاه راک-ایول تیپ III

| Spl. No. | S <sub>1</sub> | S <sub>2</sub> | S <sub>3</sub> | T <sub>max</sub> | HI  | OI | PI   | TOC  | S <sub>2</sub> /S <sub>3</sub> |
|----------|----------------|----------------|----------------|------------------|-----|----|------|------|--------------------------------|
| 2        | 0.18           | 4.57           | 0.46           | 435              | 250 | 25 | 0.04 | 1.83 | 9.93                           |
| 5        | 1.43           | 23.7           | 1.48           | 434              | 380 | 24 | 0.06 | 6.23 | 16.01                          |
| 6        | 0.46           | 6              | 0.51           | 432              | 364 | 31 | 0.07 | 1.65 | 11.76                          |
| 16       | 0.09           | 0.38           | 0.27           | 447              | 75  | 53 | 0.19 | 0.51 | 1.40                           |
| 18       | 0.07           | 0.02           | 0.18           | 444              | 10  | 64 | 0.74 | 0.28 | 0.11                           |
| 20       | 0.07           | 0.33           | 0.18           | 448              | 69  | 38 | 0.17 | 0.48 | 1.83                           |
| 22       | 0.07           | 0.03           | 0.19           | 448              | 10  | 66 | 0.72 | 0.29 | 0.15                           |
| 27       | 0.08           | 0.4            | 0.09           | 447              | 98  | 22 | 0.17 | 0.41 | 4.44                           |
| 31       | 0.07           | 0.06           | 0.19           | 463              | 24  | 79 | 0.55 | 0.24 | 0.31                           |
| 35       | 0.06           | 0.03           | 0.2            | 494              | 16  | 95 | 0.64 | 0.21 | 0.15                           |
| 49       | 0.04           | 0              | 0              | *                | *   | *  | *    | *    | *                              |
| 52       | 0.07           | 0.42           | 0.28           | 446              | 79  | 53 | 0.14 | 0.53 | 1.50                           |

جدول ۲. معیارهای بررسی کمیت، کیفیت و رسیدگی دمایی سنگ منشاء بر اساس تقسیم‌بندی [۲۶]

| Potential (quantity) | TOC (wt %)                   | S <sub>1</sub> (mg/g rock)     | S <sub>2</sub> (mg/g rock)    |
|----------------------|------------------------------|--------------------------------|-------------------------------|
| Poor                 | < 0.5                        | < 0.5                          | < 2.5                         |
| Fair                 | 0.5- 1                       | 0.5- 1                         | 2.5- 5                        |
| Good                 | 1- 2                         | 1- 2                           | 5-10                          |
| Very good            | 2- 4                         | 2- 4                           | 10-20                         |
| Excellant            | > 4                          | > 4                            | >20                           |
| Kerogen (quality)    | Hydrogen index (mg HC/g TOC) | S <sub>2</sub> /S <sub>3</sub> | Main product at peak maturity |
| I                    | > 600                        | >15                            | Oil                           |
| II                   | 300- 600                     | 10-15                          | Oil                           |
| II/III               | 200- 300                     | 5-10                           | Oil/Gas                       |
| III                  | 50- 200                      | 1-5                            | Gas                           |
| IV                   | <50                          | <1                             | None                          |
| Maturity             | R <sub>0</sub> (%)           | T <sub>max</sub> (°C)          | PI                            |
| Immature             | 0.20- 0.60                   | <435                           | <0.10                         |
| Mature               | Early                        | 435-445                        | 0.10-0.15                     |
|                      | Peak                         | 445-450                        | 0.25-0.40                     |
|                      | late                         | 450-470                        | >0.40                         |
| Postmature           | >1.35                        | >470                           | -                             |

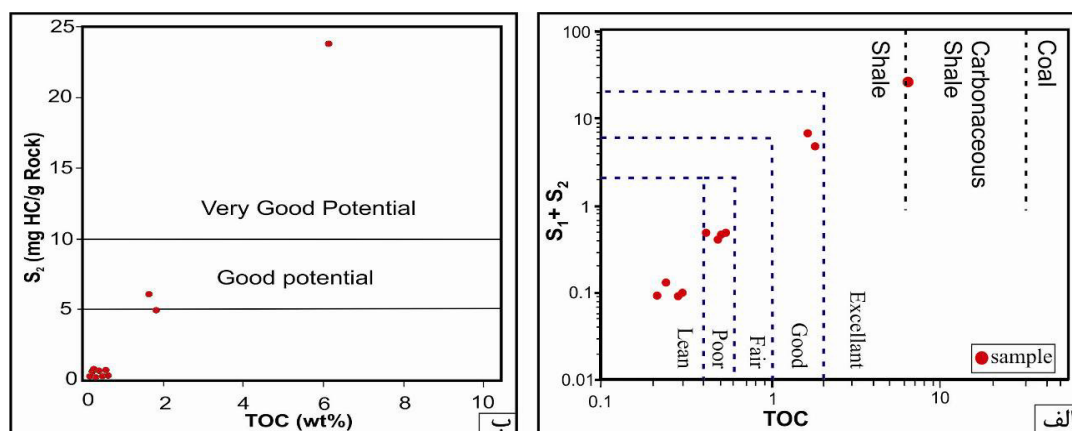
نمونه‌ها S<sub>2</sub> صفر تا ۲/۵ میلی‌گرم هیدروکربن در هر گرم سنگ دارند. ۷۳ درصد نمونه‌ها در نمودار فراوانی S<sub>1</sub>+S<sub>2</sub> دارای مقدار صفر تا ۳ میلی‌گرم هیدروکربن در هر گرم سنگ است. ۵۴/۵ درصد از نمونه‌ها صفر تا ۰/۵ درصد TOC دارند که با توجه به جدول (۲ و ۳) نشانه ضعیف بودن توان هیدروکربن‌زاوی امیران است. همچنین برای ارزیابی توان و پتانسیل هیدروکربن‌زاوی سازند امیران نمودار تغییرات S<sub>1</sub>+S<sub>2</sub> در برابر TOC رسم گردید [۱۵]. این نمودار نشان می‌دهد که نمونه‌ها در محدوده وسیع شامل ضعیف (Lean-Poor) تا خیلی خوب

۱-۴. تعیین کمیت ماده آلی (مقدار ماده آلی) مقدار ماده آلی، تحت عنوان کل کربن آلی (TOC) بیان می‌شود. رسوبی قادر به تولید نفت و گاز است که حداقل کربن آلی (TOC) معینی داشته باشد و این مقدار با توجه به نوع سنگ منشاء متفاوت است. برای ارزیابی سازند امیران در آغاز مقادیر S<sub>1</sub>, S<sub>2</sub> و TOC حاصل از پیروولیز راک-ایول نمونه‌ها با مقادیر استاندارد [۲۶ و ۲۵] مورد ارزیابی قرار گرفت که نتایج آن در جدول (۳) آمده است. ۹۱ درصد نمونه‌ها دارای S<sub>1</sub> برابر صفر تا ۰/۵ میلی‌گرم هیدروکربن در هر گرم سنگ هستند و ۷۳ درصد از

به عنوان سنگ‌هایی با پتانسیل «بسیار خوب» معرفی شوند [۹ و ۱۴]. خطوط افقی در مقادیر  $S_2=10$  و  $S_2=5$  در این نمودار، نشان می‌دهد بیشتر نمونه‌های سازند امیران پتانسیل هیدروکربنی ضعیف دارند (شکل ۵ ب). بنابراین با توجه به شکل (۵) و مقادیر TOC،  $S_1$  و  $S_2$  و در نظر گرفتن جدول (۲ و ۳) می‌توان گفت که سازند امیران پتانسیل هیدروکربنی (توان تولید هیدروکربن) ضعیف دارد. البته باید یادآوری نمود که نمونه‌های آتالیز شده از رخمنون سطحی گردآوری شدند که ممکن است پایین بودن میزان ماده آلی در اثر اکسید شدن آنها در طول زمان طولانی رخمنون سازند باشد.

جدول ۳. بررسی توان هیدروکربن‌زایی، نوع کروزان و رسیدگی دمایی نمونه‌ها بر اساس معیار [۲۵ و ۲۶]

| Maturity |                  |                | Kerogen (quality) |                                |       | Potential (quantity)            |                |                |           | Spl<br>No |
|----------|------------------|----------------|-------------------|--------------------------------|-------|---------------------------------|----------------|----------------|-----------|-----------|
| PI       | T <sub>max</sub> | R <sub>O</sub> | Main product      | S <sub>2</sub> /S <sub>3</sub> | HI    | S <sub>1</sub> + S <sub>2</sub> | S <sub>2</sub> | S <sub>1</sub> | TOC       |           |
| Imm.     | Early            | Peak           | Oil/Gas           | II/III                         | II/II | Fair                            | Fair           | Poor           | Good      | 2         |
| Imm.     | Imm.             | Early          | Oil               | I                              | II    | Excellent                       | Excellent      | Good           | Excellent | 5         |
| Peak     | Imm.             | Early          | Oil               | II                             | II    | Good                            | Good           | Poor           | Good      | 6         |
| Peak     | Peak             | Peak           | Gas               | III                            | III   | Poor                            | Poor           | Poor           | Fair      | 16        |
| Late     | Early            | Peak           | None              | IV                             | IV    | Poor                            | Poor           | Poor           | Poor      | 18        |
| Peak     | Peak             | Peak           | Gas               | III                            | III   | Poor                            | Poor           | Poor           | Poor      | 20        |
| Peak     | Peak             | Peak           | None              | IV                             | IV    | Poor                            | Poor           | Poor           | Poor      | 22        |
| Peak     | Peak             | Peak           | Gas               | III                            | III   | Poor                            | Poor           | Poor           | Poor      | 27        |
| Late     | Late             | Late           | None              | IV                             | IV    | Poor                            | Poor           | Poor           | Poor      | 31        |
| Postm.   | Postm.           | Postm.         | None              | IV                             | IV    | Poor                            | Poor           | Poor           | Poor      | 35        |
| Early    | Peak             | Peak           | Gas               | III                            | III   | Poor                            | Poor           | Poor           | Fair      | 52        |

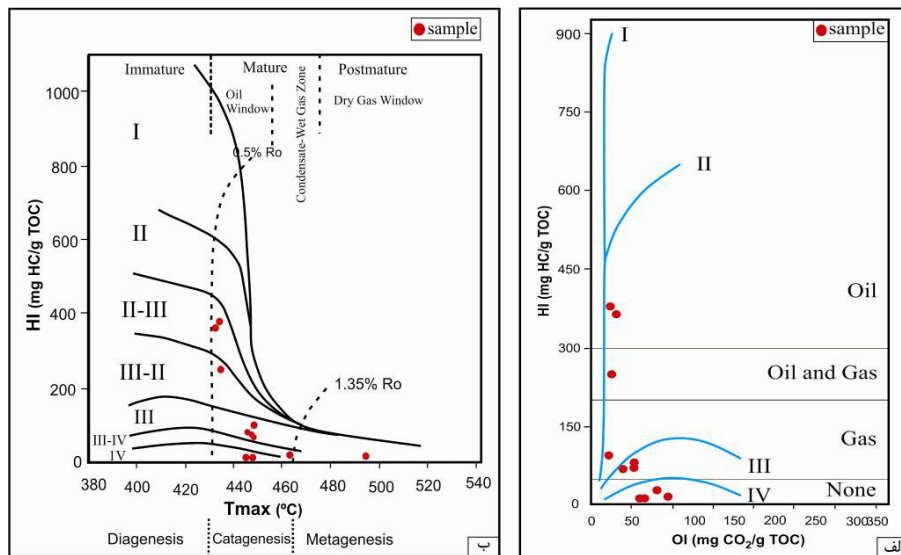


شکل ۵. (الف) نمودار تغییرات  $S_1+S_2$  در برابر TOC به منظور ارزیابی پتانسیل تولید نمونه‌های مورد مطالعه (برگرفته از [۱۵]، و ب) نمودار  $S_2$  در برابر TOC برای تعیین پتانسیل نفتی واحدهای رسوبی (برگرفته از [۲۵])

(Excellant) پراکنده‌اند (۷۲/۸ درصد ضعیف، ۱۸/۲ درصد خوب و ۹ درصد عالی) (شکل ۵ الف). این تغییرات ممکن است در اثر آمیختگی مواد آلی و تغییرات شرایط رسوب‌گذاری به علت وجود جریان‌های توربیدیاتی باشد [۴]. نمودار  $S_2$  در برابر TOC نیز ابزار بسیار مناسبی برای ارزیابی ویژگی‌های مواد آلی می‌باشد. یکی از کاربردهای آن، تعیین پتانسیل نفتی لایه‌است. اسپیتاله و همکاران (۱۹۸۵) و پیترز (۱۹۸۶) پیشنهاد نمودند آن دسته از سنگ‌هایی که  $S_2$  آنها بیشتر از (mg HC/g rock) ۵ هستند، سنگ‌هایی با پتانسیل نفتی «خوب»، و آن‌هایی که مقدار  $S_2$  آنها بیشتر از (mg HC/g rock) ۱۰ باشد،

در این نمودار نشان می‌دهد که کروزن نمونه‌ها نوع II و III و IV می‌باشد (شکل ۶ الف). موقعیت نمونه‌های مورد مطالعه در نمودار HI در برابر  $T_{max}$  تیپ III و IV را نشان می‌دهد (شکل ۶ ب). کروزن‌های نوع III و مخلوط II-III نشان‌دهنده‌ی افزایش ورود مواد آلی خشکی‌زاد در زمان رسوب‌گذاری لایه‌های در بردارنده آن‌ها است. البته آمیختگی رسوبات در طی رویداد جریان‌های توربیدیاتی نیز ممکن است در افزایش تنوع رخساره‌های آلی سازند امیران اثر گذار بوده باشد [۴].

**۴-۲. تعیین کیفیت ماده آلی (نوع ماده آلی)**  
کروزن ماده آلی غیر قابل حل در حلال‌های آلی می‌باشد که از انواع ماسوال‌ها تشکیل شده است. نوع کروزن شاخص مهمی برای ارزیابی پتانسیل سنگ منشاء بوده و تاثیر زیادی بر ماهیت هیدروکربن تولیدی دارد. برای پی‌بردن به نوع کروزن می‌توان از نمودار ون کرولن و نمودار تغییرات HI در برابر  $T_{max}$  استفاده نمود. در این نمودار تعیین نوع کروزن بر اساس HI است. در نمودار ون کرولن مجزا کردن انواع کروزن اساساً بسته به مقادیر نسبت اتمی H/C دارد. موقعیت نمونه‌های سازند امیران



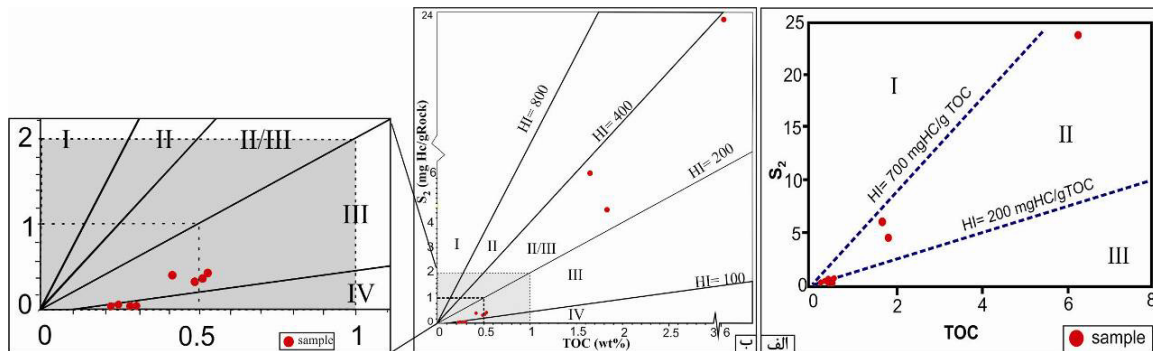
شکل ۶. (الف) نمودار تغییرات HI در برابر  $OI$  در نمونه‌های مطالعه شده (ب) نمودار تغییرات HI در برابر  $T_{max}$

اکسایش پس از رسوب‌گذاری مواد آلی می‌تواند سبب تبدیل مواد آلی غنی از هیدروزن (کروزن نوع I و II) به کروزن نوع III شود همچنین گفتگی است رسوباتی که TOC کمی دارند، دارای کروزن‌های اکسید شده هستند [۲۳]. اکسید شدن بخشی از مواد آلی به ویژه در رویداد جریان‌های آشفته که سبب اکسیژن رسانی به رسوبات بستر بخش‌های ژرف حوضه می‌شود دور از انتظار نیست. معمولاً مواد آلی نهشته شده در مراحل پایین افتادن سطح نسی آب دریاها اکسید شده هستند [۲۰]. هر چند تنها بر پایه نمودارهای ذکر شده نمی‌توان در مورد نوع کروزن‌ها اظهار نظر قطعی نمود و بررسی‌های میکروسکوپی نور بازتابی بر روی ماسوال‌های کروزن به ویژه ویترینیات و میزان رسیدگی آن‌ها، ضروری به نظر می‌رسد.

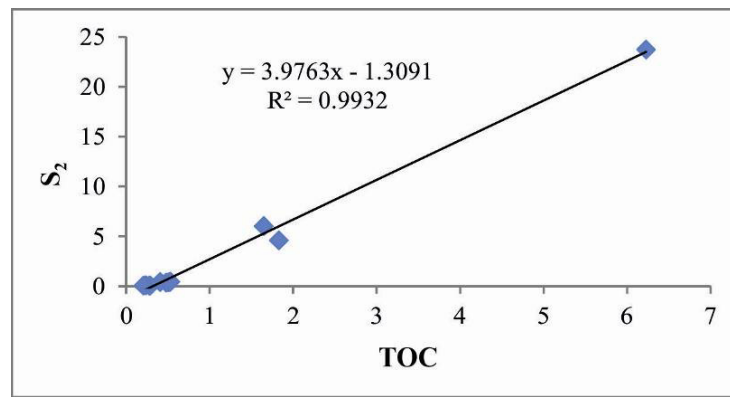
یکی دیگر از راه‌های تعیین نوع کروزن استفاده از نمودار  $S_2$  در مقابل TOC است [۲۲ و ۱۶]. در این نوع نمودار محدوده‌های انواع کروزن با خطوطی مشخص شده‌اند (شکل ۷ الف). تشخیص کروزن نوع IV توسط این نمودار ممکن نیست و نیز شناسایی نوع کروزن نمونه‌هایی که دارای مقدار کل ماده آلی کمتر از ۱ درصد وزنی هستند و به طور معمول نزدیک مبدأ مختصات رسم می‌شوند مشکل خواهد بود بنابراین برای تفکیک کروزن‌ها از نمودار دیگری استفاده شد (شکل ۷ ب). با توجه به این نمودارها با در نظر گرفتن جدول (۲ و ۳) بیشترین نوع کروزن نمونه‌های مطالعه شده، کروزن نوع III و IV هر یک ۳۶/۴ درصد فراوانی دارند. فراوانی کروزن نوع II/III ۱۸/۲ درصد و کروزن نوع III/II ۹/۱۰ درصد است.

مقدار آن ( $X=0.33\%$ ) می‌توان نتیجه گرفت که میزان جذب هیدروکربن توسط خمیره نمونه‌ها کم بوده است. میزان اندک جذب نیز به دلیل نوع کروزن آن‌ها (III و IV) و کانی‌های رسی موجود در ترکیب شیل‌ها است، هرچند برای نتیجه‌گیری بهتر به نمونه‌های بیشتری نیاز است.

از عوامل موثر در متغیرهای به دست آمده از پیروولیز نمونه‌ها، اثر ماتریکس- کانی است که سبب کاهش مقدار TOC و  $S_2$  از مقادیر واقعی آن‌ها می‌شود. برای به دست آوردن میزان جذب هیدروکربن توسط ماتریکس- کانی سنگ از نمودار  $S_2$  در برابر TOC استفاده می‌شود [۲۲]. خط رگرسیون نمونه‌های سازند امیران، محور TOC را در بخش مثبت آن قطع می‌کند (شکل ۸) که با توجه به



شکل ۷. (الف) تفکیک انواع کروزن نمونه‌های مطالعه شده بر اساس نمودار  $S_2$  در مقابل TOC (الف- برگرفته از [۲۲] و ب- برگرفته از [۱۶])



شکل ۸. نمودار  $S_2$  در برابر TOC برای نشان دادن اثر ماتریکس- کانی نمونه‌های سازند مورد مطالعه، به ضریب رگرسیون بالا توجه گردد.

در عین حال جایگاه این نمونه‌ها در نمودار  $HI_{max}$  (شکل ۶ ب) نشان می‌دهد که نمونه‌ها با رسیدن به مرحله کاتاترنس  $T_{max}$  بالاتر از  $435^\circ C$  توانسته‌اند مسیر رسیدگی دمایی را طی نمایند، زیرا میزان ضریب انعکاس ویترینایت آن‌ها از روی نمودار (شکل ۶ ب) بیش از  $0.05\%$  برآورد شده است. بنابراین داده‌های شکل ۶ و ۹ نشانه ورود نمونه‌ها به پنجره نفتی می‌باشد.

مقدار  $T_{max}$  برابر با  $430-435^\circ C$  نشانه شروع پنجره نفتی می‌باشد [۶]. ۷۲/۸ درصد نمونه‌ها دارای  $T_{max} < 435^\circ C$  درجه سانتی‌گراد هستند، ۱۸/۲ درصد نمونه‌ها هنوز به پنجره نفتی نرسیده‌اند (در اوایل پنجره نفتی) و ۹ درصد نمونه‌ها نیز دمای بیش از  $470^\circ C$  درجه سانتی‌گراد را

#### ۴-۳. رسیدگی دمایی ماده آلی توسط پارامترهای راک-ایول

محدوده رسیدگی  $T_{max}$  برای انواع مختلف ماده آلی، متفاوت است. محدوده پنجره نفتی کروزن نوع اول و دوم  $430-470^\circ C$  درجه سانتی‌گراد و برای تولید گاز خشک از کروزن نوع سوم بیشتر از  $470^\circ C$  درجه سانتی‌گراد است [۲۵]. برای اطمینان از ورود ماده آلی به پنجره نفتی و تعیین میزان رسیدگی، از نمودار  $T_{max}$  در مقابل PI استفاده گردید (شکل ۹). بر اساس این نمودار نمونه‌های مورد مطالعه در زون اصلی تولید نفت و یا در موارد محدودی در اوایل پنجره نفتی و نیز در محدوده گاززایی قرار دارند.

ها زیر  $T_{max}$  ۴۵۵ درجه قرار دارند. این شکل به خوبی نشان می‌دهد که چرا نمونه‌های سازند امیران از نظر نفت‌زاویه در وضعیت ضعیف هستند. چنانچه ستبرای گروه فارس بر روی این توالی موجود می‌بود شاید وضع پختگی دمایی سازند امیران بهتر از این می‌بود.

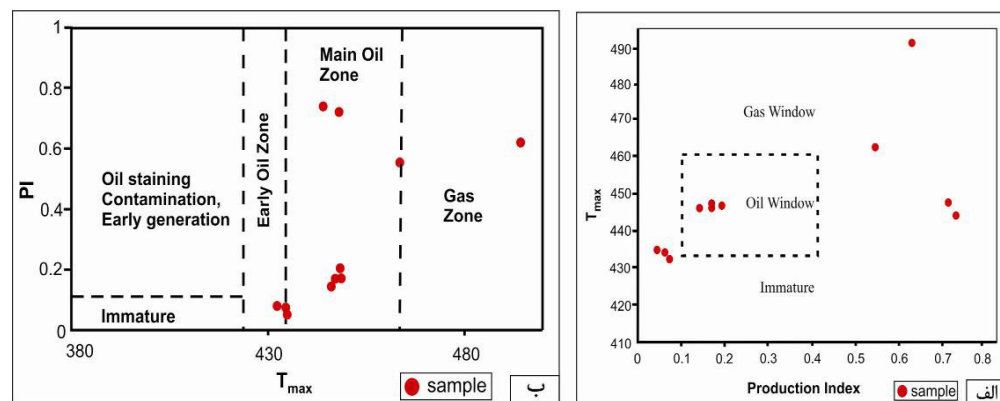
نمودار تاریخچه تدفین نمونه‌های مورد بررسی (شکل ۱۱) نیز بیانگر این واقعیت است که سازند امیران تا پیش از رسوب‌گذاری سازندهای سنوزوویک یعنی سازند شهبازان و آسماری حتی به پنجره نفتی نیز وارد نشده بود. از این هنگام به بعد به خطر انباشت رسوبات سازندهای یاد شده سازند امیران به ژرفای بیشتری رسیده و شناس ورود به پنجره نفتی افزایش یافت. اما به خاطر روداد کوهزاد جوان زاگرس چین‌خوردگی و بالآمدگی چینهای زاگرس سبب فرسایش سیاری از آن‌ها به ویژه در نواحی لرستان در زمان پلیو-پلئیستوسن شده است. بنابراین حتی اگر کیفیت و میزان ماده آلتی سازند امیران مناسب می‌بود، به خاطر معکوس شدن روند تدفین شناس اندکی برای رسیدگی دمایی داشته‌اند. این نمودار می‌تواند دلیل ضعیف بودن سازند امیران از نظر سنگ منشاء در ناحیه مورد مطالعه را بهتر بیان کند. شکل ۱۱ به خوبی نشان می‌دهد که تا پیش از ۱۷ میلیون سال پیش سازند امیران به پنجره نفتی نرسیده بود. از آن زمان تاکنون نیز تنها بخش‌های زیرین آن در محدوده پنجره نفتی قرار گرفته‌اند اما به خاطر بالا آمدگی زاگرس زود از این شرایط دور شده‌اند.

نشان می‌دهند (جدول ۲ و ۳). از پارامترهای دیگری که بر پایه آن‌ها می‌توان به رسیدگی دمایی سنگ منشاء پی برد استفاده از شاخص انکاس ویترینیت ( $R_o$ ) است. ولی به دلیل این که در این تحقیق مطالعات پتروگرافی آلتی صورت نگرفته است، لذا از نمودار  $T_{max}$  در مقابل HI (شکل ۶ ب) و نیز معادله تبدیل مقادیر  $T_{max}$  حاصل از پیرولیز راک-ایول برای به دست آوردن ضربی انکاس ویترینیت (معادله ۱) استفاده گردید [۱۹]. بر پایه مقادیر  $R_o$  محاسبه شده و جدول ۲ و ۳ بیشتر نمونه‌ها در محدوده درصد) در محدوده پنجره نفتی قرار دارند. با توجه به این که مقدار PI در محدوده پنجره نفتی از ۰/۱ تا ۰/۴ متغیر است و بر طبق جدول ۱ و ۲ بیشتر نمونه‌ها در محدوده پنجره نفتی قرار دارند که این نتیجه‌گیری نتایج به دست آمده از شکل ۶ و ۹ را تایید می‌نماید.

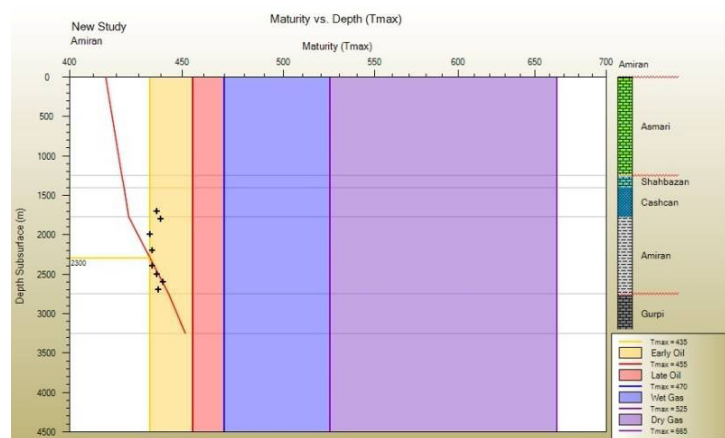
معادله ۱  

$$Ro = (0.0180) \times (T_{max}) - 7.16$$

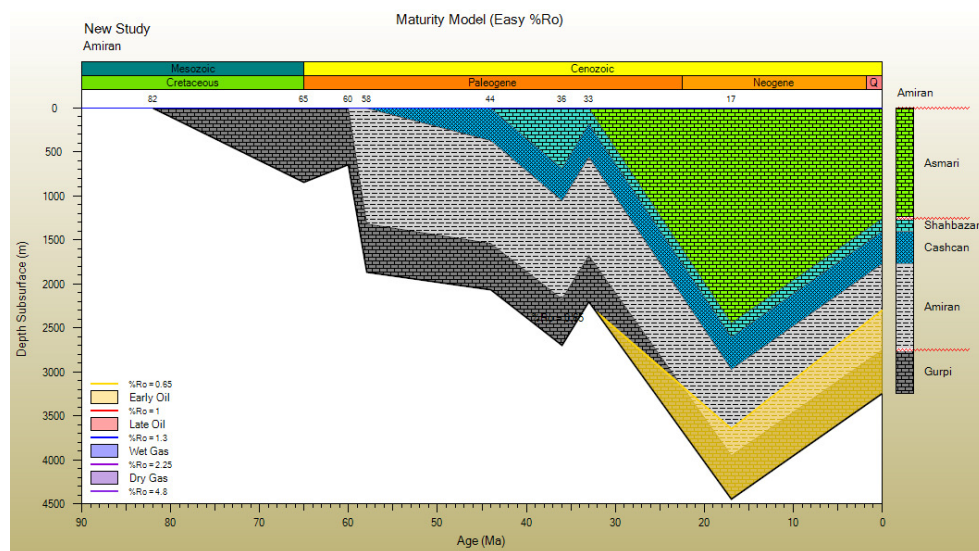
برای درک بهتر شرایط رسیدگی دمایی نمونه‌ها تلاش گردید که منحنی تاریخچه تدفین سازند امیران در منطقه مورد مطالعه تهیه گردد. یادآوری می‌شود که به خاطر نبود سازندهای گروه فارس در این ناحیه در محاسبات مربوطه تنها سازند آسماری ملاک عمل بوده است. از این رونمی‌توان به طور قطع در این باره نظر داد. نمودار تاریخچه تدفین سازند امیران با پیش فرض گام زمین گرمایی پیشنهادی برای حوضه زاگرس تهیه شده است. همان‌گونه که در نمودار رسیدگی دمایی در برابر زرفا (شکل ۱۰) دیده می‌شود، تمام نمونه‌های مورد بررسی در محدوده آغازین نفت‌زاویه هستند و همه نمونه-



شکل ۹. رسیدگی دمایی سازند امیران در نمودارهای  $T_{max}$  در برابر PI (برگرفته از [۱۱]، ب- نمودار PI در مقابل  $T_{max}$  برای تعیین ورود به پنجره نفتی



شکل ۱۰. نمودار رسیدگی دمایی نمونه های سازند امیران در برابر ژرفای. همه نمونه ها در محدوده زیر دمای ۴۵۵ درجه یعنی گام آغازین نفت زایی هستند.



شکل ۱۱. نمودار تاریخچه تدفین سازند امیران در ناحیه لرستان

جدول ۴. میزان  $R_o$  محاسبه شده به روش پیشنهادی [۱۹]

| Sample | 2    | 5    | 6    | 16   | 18   | 20   | 22   | 27   | 31   | 35   | 52   |
|--------|------|------|------|------|------|------|------|------|------|------|------|
| $R_o$  | 0.67 | 0.65 | 0.61 | 0.88 | 0.83 | 0.90 | 0.90 | 0.88 | 1.17 | 1.73 | 0.86 |

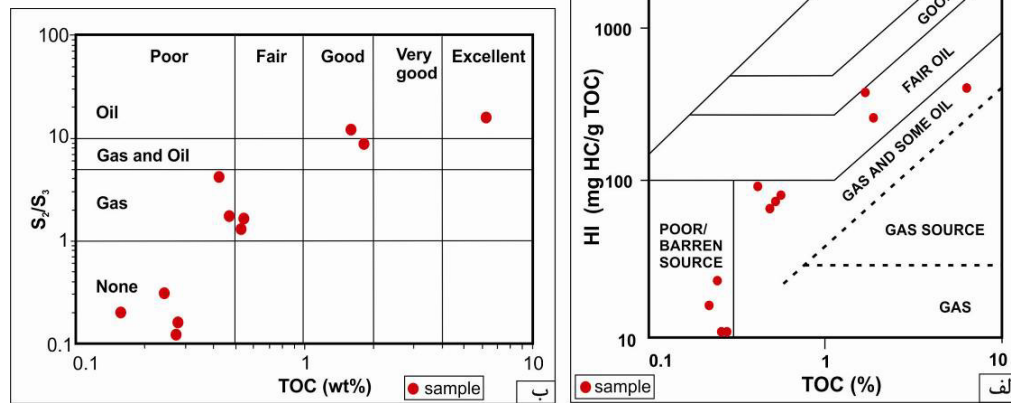
در مقابل  $S_2/S_3$ ، علاوه بر تعیین کمیت سنگ منشاء می‌توان کیفیت هیدروکربن تولید شده را مشخص نمود [۲۶]. همان‌طور که در شکل (۱۲ ب) مشاهده می‌شود، بیشتر نمونه‌های مورد مطالعه دارای پتانسیل تولیدی کمی هستند و نمی‌توانند هیدروکربن‌زایی چندانی داشته باشند.

موادآلی غنی از هیدروژن بیشترین پتانسیل نفت‌زایی را دارند، درحالی که موادآلی تخریبی، هیدروژن کمی داشته و بیشتر گازخیز هستند. بر اساس مطالعات صورت گرفته

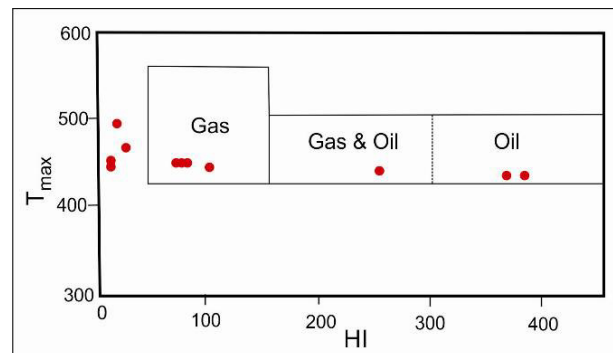
با استفاده از نمودار تغییرات TOC در مقابل HI (شکل ۱۲ الف) می‌توان درجه غنی بودن سنگ منشاء را ارزیابی نمود [۱۷]. نمونه‌های مورد مطالعه از نوع ضعیف (Poor source)، توانایی تولید گاز با کمی نفت (Gas and Oil source) و توانایی تولید نفت نسبتاً خوب (Fair Oil) (نمونه شماره ۲ و ۶) دسته‌بندی گردیدند. نمونه‌های شماره ۲، ۵ و ۶ دارای PI کمی هستند و توان تولید ضعیفی دارند. همچنین با استفاده از نمودار TOC

بنابراین بر اساس مقدار  $\text{HI} / \text{S}_2 / \text{S}_3$  و با در نظر گرفتن جدول (۱ و ۲) و با توجه به شکل (۱۲ و ۱۳)، حدود ۱۸/۲ درصد نمونه‌ها توان تولید نفت دارند و ۹/۱ درصد نمونه‌ها توان تولید نفت و گاز دارند. ۳۶/۴ درصد نمونه‌ها گاززا و ۳۶/۴ درصد خنثی هستند، این نتیجه‌گیری با نوع کروزن فراوان‌تر یعنی نوع III و IV همخوان خوبی دارد. هرچند بیشتر نمونه‌ها TOC و PI کمی دارند و نمی‌توانند هیدروکربن چندانی تولید نمایند.

توسط [۲۵]، سنگ منشاء با HI بیش از ۳۰۰ (mg HC/g TOC) سنتی می‌نماید، سنگ‌هایی با HI بین ۱۵۰ تا ۳۰۰ نفت و مقداری گاز تولید می‌کنند، سنگ‌هایی که مقدار HI آن‌ها بین ۵۰ تا ۱۵۰ می‌باشد، گازخیز هستند و سنگ‌هایی با HI کمتر از ۵۰ خنثی، به شمار آمده و توان تولید هیدروکربن ندارند [۱۴] (شکل ۱۳).



شکل ۱۲. (الف) نمودار HI در مقابل TOC برای تعیین نوع پتانسیل تولیدی (برگرفته از [۱۷]، ب) نمودار TOC در مقابل  $\text{S}_2 / \text{S}_3$  برای تعیین کمیت و کیفیت هیدروکربن تولیدی (برگرفته از [۲۶])



شکل ۱۳. پارامترهای ژئوشیمیایی تعیین کننده نوع هیدروکربن تولید شده (برگرفته از [۲۵])

مقابل HI استفاده شد که بر اساس آن شرایط پیشروی یا پسروی حاکم بر محیط رسوب‌گذاری در زمان نهشت رسوبات تعیین می‌گردد [۸]. همان‌گونه که پیش‌تر اشاره شد، شاید بتوان علت این امر را به متغیر بودن شرایط محیطی در زمان نهشت‌هشته شدن این سازند نسبت داد. با توجه به این‌که رسوبات سازند امیران با جریان‌های

۵- رخساره آلی و شرایط محیط رسوبی  
برای تعیین رخساره آلی سازند امیران از نمودار HI و OI پیشنهادی جونز [۲۰] استفاده گردید (شکل ۱۴). پراکندگی نمونه‌های سازند امیران در رخساره‌های گوناگون (BC, CD, BC, CD) و (D) بسیار چشمگیر است. برای شناسایی شرایط محیط رسوب‌گذاری از نمودار TOC در

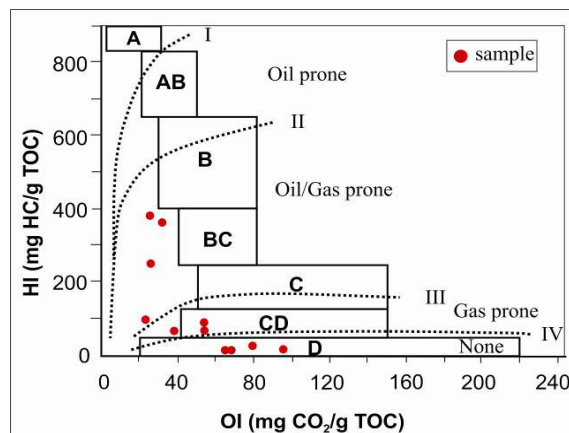
طور عمدۀ از مناطق خشکی وارد حوضه شده است. نتیجه‌های که وجود کروزن‌های نوع III و IV را تایید می‌کند. این نتیجه‌گیری با پراکندگی رخساره‌های آلی (شکل ۱۴) نیز هم‌سویی دارد. فراوانی جریانات توربیدیتی در زمان افت سطح آب دریاهای [۷ و ۱۰] با این نتیجه‌گیری همخوانی دارد.

شرایط احیایی حاکم در رسوب‌گذاری سبب تجمع بالای کربن آلی در سنگها می‌شود. با افزایش شاخص هیدروزن، مقدار کربن آلی نیز افزایش می‌یابد، این امر نشان‌دهنده حفظ ماده آلی در شرایط احیایی است [۸]. شرایط اکسیدی یعنی افزایش شاخص اکسیژن باعث کاهش مقادیر TOC می‌شود، این نکته در شکل (۱۷) دیده می‌شود. بیش‌تر نمونه‌ها با TOC کم در شرایط OI بالا قرار گرفته‌اند و برخی از نمونه‌ها با TOC بیش‌تر در بازه HI بیش‌تر واقع شده‌اند. هر چند شمار کم نمونه‌ها و نیز سطحی بودن نمونه‌های آنالیز شده در کم رنگ شدن رابطه معنی‌دار بین آن‌ها بی‌تأثیر نبوده است.

بسیاری از نمونه‌های سازند امیران نشانه شرایط افت نسبی سطح آب دریا و شرایط اکسیدان در زمان رسوب‌گذاری هستند (شکل ۱۸) نکته‌ای که با وجود جریان‌های توربیدیتی نیز همخوانی دارد. چرا که جریان‌های توربیدیتی معمولاً در شرایط پایین افتادن سطح آب دریاهای و پسروی فراوان تراند. در LST مواد آلی شدیداً اکسیده می‌شوند. در شرایط آب بستر اکسیژن‌دار بخش زیادی از ماده آلی اکسیده شده و کیفیت آن پایین می‌آید. در این زمان فلات قاره و بخش فوقانی شیب قاره به صورت یک زون گذر رسوبات عمل می‌کند [۱۰].

توربیدیتی حمل و انباسته شده‌اند [۲]، در هم شدن رخساره‌های گوناگون توسط جریان‌های آشفته می‌تواند علت این پراکندگی و تنوع رخساره آلی باشد. جونز [۲۰] نشان داده است که رخساره‌های BC نشانه رسوبات فلات قاره و شیب قاره مزوژوئیک و ترشیاری بوده که در حاشیه‌های قاره‌ای با محیط‌های دارای مواد آلی دریایی و قاره‌ای و رسوب‌گذاری سریع در شرایط نسبتاً اکسیدان است، در حالی که رخساره CD در محیط‌های ژرف و در مجاورت نقاط کوهزایی و رخساره D در محیط‌های قاره‌ای شدیداً اکسیدان رسوب‌گذاری نموده‌اند [۲۰]. پراکندگی نمونه‌های مورد مطالعه، شاید نشانه درهم شدن ماده آلی دریایی با قاره‌ای باشد. در شکل (۱۵) و جدول (۵) ارتباط بین رخساره‌های آلی با محیط رسوب‌گذاری نشان داده شده است. بر این اساس غالب مواد آلی سازند امیران از نوع اکسیدی (قاره‌ای) بوده و عمدتاً رسوب‌گذاری آن‌ها به طور نسبتاً سریع در آبهای اکسیدی تا گاهی کم اکسیژن، و غالباً در قسمت‌های دور از منشاء و البته اندکی از آن‌ها نزدیک منشاء صورت گرفته است.

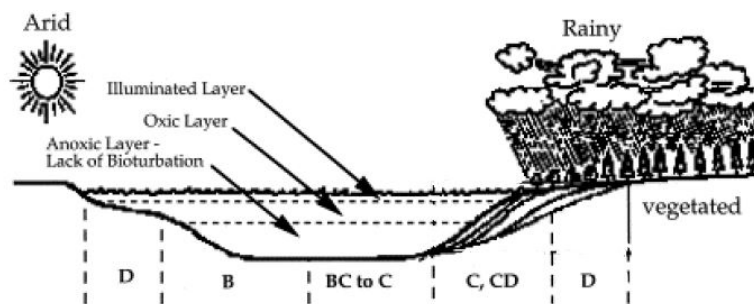
بر پایه پژوهش حیدری سازند امیران بخشی از ابرسکانس سasan بهشمار می‌رود و زمانی که سطح جهانی آب دریاهای پایین بوده تشکیل شده است [۱۳]. هم چنین حق و همکاران بیان کردند که در این زمان سطح آب دریاهای پایین‌تر بوده است [۱۲]. چنین نتیجه‌های نیز در شکل ۱۶ دیده می‌شود [۸]. نمونه‌های سازند امیران بیش‌تر در محدوده آبهای بستر اکسیژن‌دار و در شرایط پسروی تهشین شده‌اند (شکل ۱۶). به طوری که مواد آلی به



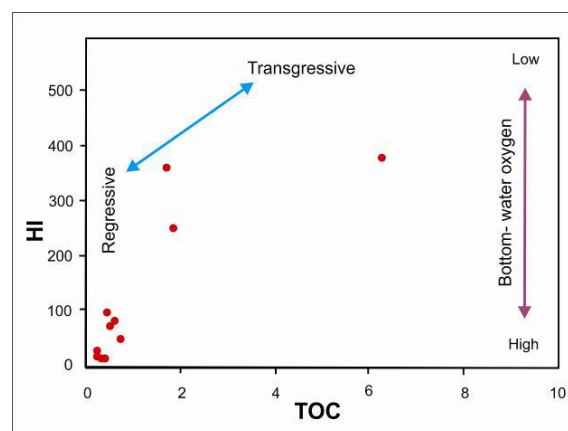
شکل ۱۴. نمودار تعیین رخساره آلی: A = محیط دریاچه‌ای شدیداً احیایی، B = محیط‌های دریایی یا دریاچه‌ای نسبتاً احیایی، BC = محیط‌های دارای مواد آلی دریایی و قاره‌ای و رسوب‌گذاری سریع در شرایط نسبتاً اکسیدان، C = محیط‌هایی با سرعت رسوب‌گذاری متوسط در شرایط احیایی، CD = محیط‌های ژرف در مجاورت نقاط کوهزایی، D = محیط‌های قاره‌ای شدیداً اکسیدان (برگرفته از [۲۰ و ۲۱]).

جدول ۵. ارتباط بین رخسارهای آلی با محیط رسوب‌گذاری (برگرفته با اندکی تغییر از [۲۷])

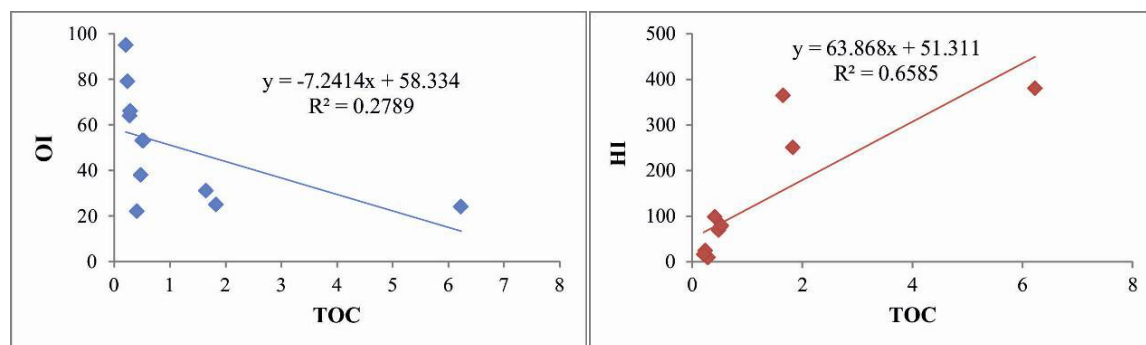
| Organic facies        |                            | A      | A<br>B         | B        | BC   | C      | CD  | D    |
|-----------------------|----------------------------|--------|----------------|----------|------|--------|-----|------|
| Environmental factors | Sediment accumulation rate | Low    | Varies         |          | High |        | Mod | Low  |
|                       | Oxygen regime              | Anoxic | Anoxic-dysoxic |          | Oxic |        | V.  | Oxic |
|                       | Proximal-Distal trend      | Distal |                | Proximal |      | Distal |     |      |



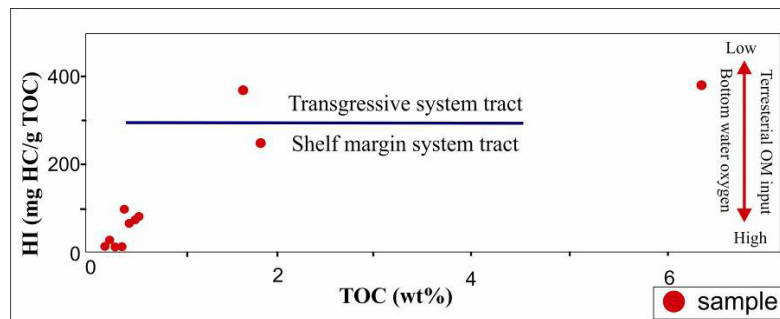
شکل ۱۵. گسترش و موقعیت رخسارهای آلی در حوضه رسوبی (برگرفته از [۲۰]). با توجه به قرارگیری نمونه‌های سازند امیران در رخساره D، BC، CD و D می‌توان گفت که طیفی از شرایط اکسیدی تا بی‌اکسیژن در سازند امیران وجود داشته است.



شکل ۱۶. نمودار تغییرات HI در برابر TOC در سازند امیران به منظور تعیین شرایط محیط رسوب‌گذاری آن‌ها (برگرفته از [۸])



شکل ۱۷. تاثیر شرایط احیا و اکسیدی بر حفظ کربن آلی



شکل ۱۸. نمودار  $\text{HI}$  در برابر  $\text{TOC}$  نشان می‌دهد بیش تر نمونه‌های سازند امیران در محدوده آب‌های بستر اکسیژن‌دار تهنه‌شین شده‌اند [برگفته از ۲۴ و ۸].

با قاره‌ای می‌باشد. بر این اساس بیش‌تر مواد آلی سازند امیران از مناطق خشکی وارد حوضه شده‌اند و در محدوده آب‌های بستر اکسیژن‌دار، در شرایط افت نسبی سطح آب دریا تهنه‌شین شده‌اند. نتیجه‌ای که وجود کروزن‌های نوع III و IV را تایید می‌کند. با توجه به این که رسوبات سازند امیران با جریان‌های توربیدیاتی حمل و نهشته شده‌اند، در هم ریختن رخسارهای گوناگون توسط جریان‌های آشفته می‌تواند علت این پراکندگی و تنوع رخساره آلی باشد.

### سپاسگزاری

نگارندگان از معاونت پژوهش و فناوری دانشگاه بوعالی سینا همدان برای تامین هزینه‌های آتالیز ژئوشیمیایی نمونه‌ها در چارچوب اعتبار پژوهانه به نویسنده نخست سپاسگزاری می‌نمایند. کمک‌های آقای مصطفی تکرلی کارشناس ارشد زمین‌شناسی نفت در تهیه نمودارهای منحنی رسیدگی دمایی و تاریخچه تدفین مایه سپاس فراوان است. نویسنده‌گان از داوران محترم برای ارائه پیشنهادات سودمند و اصلاحات فراوان متن مقاله سپاسگزاری می‌نمایند.

### منابع

- [۱] اشکان، م (۱۳۸۳) اصول مطالعات ژئوشیمیایی سنگ منشاء هیدروکربوری و نفت‌ها، انتشارات روابط عمومی شرکت ملی نفت ایران، ۳۵۵ ص.
- [۲] طولایی، م (۱۳۹۳) ارزیابی پتانسیل هیدروکربوری، میکروفاسیس و محیط رسوبی سازند امیران در جنوب غرب لرستان، پایان‌نامه کارشناسی ارشد، دانشگاه بوعالی سینا همدان، دانشکده علوم، گروه زمین‌شناسی، ۱۷۴ ص.

### ۷- نتیجه‌گیری

۱- ستبرای سازند امیران در برش تاقدیس امیران ۹۸۰ متر اندازه‌گیری شده که بیش‌ترین لیتولوژی این سازند شیل‌های خاکستری تا سیز زیتونی است. نتایج پیروولیز راک-ایول نشان می‌دهد که بیش‌تر رسوبات این سازند به دلیل پایین بودن میزان مواد آلی (به دلیل نرخ کم تولید و یا پایین بودن نرخ حفظشدنی ماده آلی در اثر تمرکز بالای اکسیژن محلول در آب) پتانسیل لازم، برای هیدروکربن‌زاوی را ندارند.

۲- بیش‌ترین نوع کروزن نمونه‌های مطالعه شده، کروزن III و IV هرکدام با فراوانی ۳۶/۴ درصد است که نشان دهنده افزایش ورود مواد آلی خشکی‌زاد در زمان رسوب‌گذاری و همچنین اکسید شدن مواد آلی در بستر حوضه در اثر تماس با آب‌های اکسیژن‌دار است.

۳- نتایج نمودار  $T_{\max}$  در مقابل PI نشان می‌دهد که نمونه‌های مورد مطالعه در زون اصلی تولید نفت و یا در موارد محدودی در اوایل پنجره نفتی و نیز در محدوده گاز زاوی قرار دارند. ۷۳ درصد نمونه‌ها دارای  $435 T_{\max}$  تا  $470$  درجه سانتی‌گراد هستند و توانسته‌اند رسیدگی حرارتی را طی نمایند.

۴- حدود ۱۸/۲ درصد نمونه‌ها توان تولید نفت نسبتاً خوب (Fair Oil) دارند و ۹/۱ درصد نمونه‌ها توان تولید گاز با کمی نفت (Gas and some Oil) دارند. ۳۶/۴ درصد نمونه‌ها گاززا و ۳۶/۴ درصد خنثی (Poor source) هستند، نکته‌ای که با نوع کروزن فراوان‌تر یعنی نوع III و IV همخوانی دارد.

۵- بر اساس نمودار (Jone's 1987) رخسارهای آلی سازند امیران بسیار گوناگون (D, BC, CD) است. پراکندگی نمونه‌ها، نشانه‌ی درهم شدن ماده آلی دریابی

- hydrocarbon gases in the eastern Tarim Basin, *Chemical Geology*, v. 162, p. 65-77.
- [16] Hunt, J.M (1996) *Petroleum Geochemistry and Geology*, 2<sup>nd</sup> Edition. Freeman and Company, New York, 743 p.
- [17] Jackson, K.S., Hawkins, P.J., Bennett, A.J.R (1985) Regional faciesand geochemical evaluation of southern Denison Trough. *APEAJ*.v. 20, p. 143-158.
- [18] James, G. A., Wynd, J. G (1965) Stratigraphic nomenclature of Iranian oil consortium agreement area. *AAPG Bulletin*, v. 49, p. 2182-2245.
- [19] Jarvie, D. M., B. L., Claxton, F., Henk, and J. T., Breyer (2001) Oil and Shale Gas from the Barnett Shale, Fort Worth Basin, Texas: American Association of Petroleum Geologists Bulletin, v.85, 100 p.
- [20] Jones, R.W (1987) Organic Facies, In: Brooks, J., Welte, D. (Eds.), *Advances in Petroleum Geochemistry*. Academic Press, New York, p. 1-90.
- [21] Justwan, H. and Dahl, B (2005) Quantitative Hydrocarbon Potential Mapping and Organofacies Study in the Greater Balder Area, Norwegian North Sea, In: Dore, T. & Vining, B. (eds.), *Petroleum Geology: North West Europe and Global Perspectives Proceeding of 6th Petroleum Geology Conference*, Geological Society, London, 1317- 1329 p.
- [22] Langford, F.F., Blanc-Valleron, M.M (1990) Interpreting Rock-Eval. Pyrolysis Data Using Graphs of Pyrolyzable Hydrocarbons vs. Total Organic Carbon., *AAPG Bulletin*, v. 47, No. 6, p.799-840.
- [23] Meyers, P. A (1997) Organic geochemical proxies of paleoceanographic, paleolimnologic, and paleoclimatic processes, *Organic Geochemistry*, v. 27, p. 213-250.
- [24] Pasley, M., W. Gregory, and G. F. Hart (1991) Organic Matter Variations in Transgressive and Regressive shales: *Organic Geochemistry*, v.17, p. 483-509.
- [25] Peters, K.E (1986) Guidelines for evaluating petroleum source rock using programmed pyrolysis. *AAPG Bulletin*, v. 70, p. 318-329.
- [26] Peters, K.E., and Cassa, M.R (1994) Applied source rock geochemistry, In: Magooon,L.B,Dow,W.G. (Eds), *The petroleum system from source to trap: AAPG memoir*, v.60, p. 93-120.
- [27] Tyson, R.V (1995) *Sedimentary Organic Matter, Organic facies and palynofacies*. Chapman and Hall, London, 615 p.
- [28] Ziegler, M. A (2001) Late Permian to Holocene Paleofacies Evolution of the Arabian Plate and its Hydrocarbon Occurrences, *GeoArabia*, v. 6, p. 445- 504.
- [۲] طبیب، س.ح (۱۳۸۸) بررسی و بازنگری سن سازند آواری امیران در محدوده استان لرستان (برش نمونه سازند)، پایان‌نامه کارشناسی ارشد، دانشگاه باهنر کرمان، ۱۱۶ ص.
- [۴] محسنی، ح، طولانی، م، یوسفی بگانه، ب، خدابخش، س (۱۳۹۲) شواهد رسوبی جریان توربیدیاتی در سازند امیران در جنوب باختر لرستان، هدفهین همایش انجمن زمین‌شناسی ایران، دانشگاه شهید بهشتی
- [5] Ala, M. A., Kinghorn, R. R. F., and Rahman, M (1980) Organic geochemistry and source rock characteristics of the Zagros petroleum province, South West Iran: *JPG*, v. 3, p. 61-89.
- [6] Bordenave, M.L (1993) *Applied Petroleum Geochemistry*, Paris: Editions Technip, 524 p.
- [7] Catuneanu, O (2006) *Principles of Sequence Stratigraphy*, Elsevier, Amsterdam, 375 pp.
- [8] Dean, W.E., Arthur, M. A., Claypool, G.E (1986) Depletion of <sup>13</sup>C in Cretaceous marine organic matter: Source, diagenetic, or environmental signal, *Marine Geology*, v.70, p. 119-154.
- [9] Espitalie, J., Deroo, G., Marquis, F (1985) La pyrolyse Rock-Eval et ses applications Rev. Inst. Franç. du Pétrol., Part I, 40, pp. 563-578, Part II, 40, pp. 755-784, Part III, 41, p. 73-89.
- [10] Emry, D., Myers, A (1996) *Sequence stratigraphy*, Blackwell Scientific Publication, 279 pp.
- [11] Ghori, K.A.R (2001) High-quality oil-prone source rocks within carbonates of the Silurian Dirk Hartog Group, Gascoyne Platform, Western Australia, *Geological Survey of Western Australia Bull.* v. 22 p. 34-40.
- [12] Haq, B.U., J. Hardenbol and P.R. Vail (1988) Mesozoic and Cenozoic chronostratigraphy and cycles of sea-level change. In, C.K. Wilgus, B.S. Hastings, C.G. St. C. Kendall, H. Posamentier, J. Van Wagoner and C.A. Ross (Eds.), *Sea-level changes: an integrated approach*. Society of Economic Paleontologists and Mineralogists, Special Publication 42, p. 71-108.
- [13] Heydari, E (2008) Tectonics versus eustatic control on supersequences of the Zagros Mountains of Iran, *ScienceDirect, Elsevier, Tectonophysics*, v. 451 p. 56–70.
- [14] Homke, S (2008) Timing of shortening and uplift of the Pusht-E Kuh arc in the Zagros fold-and thrust belt (Iran), A combined Magnetostratigraphy and Apatite Thermochronology analysis, *Universidad de Barcelona Facultad de Geología Departamento de Geodinámica Geofísica*, Barcelona, 195 p.
- [15] Huang, D.F., Liu, B., Wang, Y., Xuschen, P., and Zhao, M (1999) Genetic type and maturity of lower Paleozoic marine